

## 한외여과 Flux 향상을 위한 주기적 압력구배 이용의 타당성 연구

서 창 우, 이 은 규  
한양대학교 화학공학과

### A Feasibility Study to Enhance Ultrafiltration Permeate Flux by Applying Pressure Gradient Oscillation

C. W. Suh and E. K. Lee  
Department of Chemical Engineering Hanyang Univ.

#### 서론

생물분리공정에서 한외여과공정은 세포 및 발효제품의 회수 및 농축에 많이 사용되고 있다. 여과 flux는 보통 온도, 압력, 용질의 농도, 유체의 속도, 용질의 크기 및 모양 등 여러 인자에 의해 영향을 받으며 이중 압력에 의한 영향이 큰 것으로 알려져 있다<sup>1)</sup>. 일반적으로 높은 압력에서는 용질의 농축에 의한 gel polarization의 영향이 심화되어 flux의 감소를 초래할 수 있고, 낮은 압력에서는 flux가 감소하나 gel polarization 현상은 완화된다고 볼 수 있다. 따라서 압력구배를 주기적으로 높고 낮게 해줌으로써 gel layer의 이완을 유도함으로써 여과 flux의 충팔적 향상을 기도할 수 있다는 타당성을 제시할 수 있다.

본 실험에서는 난여과성 물질인 corn gluten meal 가수분해액에 대하여 각각의 압력에 대한 flux 경향성 조사, 압력구배의 oscillation에 의한 flux 변화와 초기 flux로부터 최대 여과액의량을 예측하는 방법에 대해 연구하였다.

#### 재료 및 방법

사용된 용액은 corn gluten 가수분해 용액이며, 건조된 corn gluten meal ((주) 두산종합식품에서 제공)을 단백질 분해효소인 alkaline protease(APL 440<sup>TM</sup>, Solvay Enzymes, Inc, Elkhart, IN, USA)를 사용하여 가수분해시켰다<sup>2)</sup>. 본 실험에서는 압력에 의한 flux 변화만을 연구하기 위하여 온도, 용질의 농도, 유체의 속도, 용질의 입자를 일정하게 유지하기 위해 다음과 같은 조건을 만들었다. 용액의 온도는 항상 10°C로 일정하게 유지하였으며, 여과용액을 계속 재순환시킴으로써 전체 공정에서의 고체입자 농도를 일정하게 유지하였으며, 용액의 입자는 동일 용액으로 모든 실험이 수행되어 같다고 볼 수 있다.

유체의 속도 및 transmembrane 압력차,  $\Delta P_{TM}$ 은 가해진 압력에 의해 결정된다.

$$\Delta P_{TM} = \frac{P_i + P_0}{2} - P_p$$

이때  $P_i$ 는 inlet pressure,  $P_o$ 는 outlet pressure,  $P_p$ 는 permeate pressure이다. 본 실험장치에서  $P_o$ 와  $P_p$ 를 대기압과 같은 0이 되도록 하여  $\Delta P_{TM}$ 은  $P_i/2$ 가 되도록 하였다<sup>1)</sup>.

사용된 장치는 (주)청록산업에서 구입하였으며 미국의 Downstream Technologies, Inc.에서 제작한 것이며, filter membrane은 polyethersulfone재질로서 친수성이며 MWCO는 100K dalton이다.

## 결과 및 고찰

### 압력에 따른 여과 flux의 변화경향

$\Delta P_{TM}$ 이 2.5, 6.5, 7.5, 9, 12.5 psi에서 180분 동안의 평균 flux를 Fig. 1에 나타내었다. 이 결과로 부터  $\Delta P_{TM}$ 를 증가시킴에 따라 평균 flux가 선형적으로 증가하는 경향을 얻을 수 있었다. Fig. 2에서는 시간에 따른 flux 변화를 나타내었으며, 이 결과로 부터 각 압력에서의 flux는 초기에는 큰 차이를 보이나 준 정상상태에 도달하면 비슷한 값을 나타냄을 알 수 있다.

### 각 압력에서 flux 변화의 수학적 모사

Flux 변화를 Hermia식에 의해 모사해 보았다. Hermia의 식은 아래와 같다<sup>3)</sup>.

$$\frac{J}{J_0} = \frac{\Delta P_{TM}}{(1+a*t)^n}$$

$J$ 는 permeate flux,  $J_0$ 는 initial permeate flux이며 이때  $n$ 값은 다음과 같이 fouling mechanism에 따라 결정된다<sup>4)</sup>;  $n=0.5$  for cake formation,  $n=1$  for surface plugging,  $n=2$  for depth plugging. 본 실험에서는  $n=0.5$ 로 하여 모사하였으며, 이때 평균 96% 이상의 높은 적용결과를 보였으며, 상수  $a$ 는 압력 증가에 따라 Fig. 3에서 보는 것과 같이 선형적으로 증가함을 알 수 있었다.

### 초기 flux로써 전체 여과액의 부피( $V_{MAX}$ ) 예측방법

$V_{MAX}$  예측은 다음의 미분방정식으로부터 유도하였다<sup>5)</sup>.

$$\frac{d^2t}{dV^2} = k \left( \frac{dt}{dV} \right)^n$$

이때  $t$ 는 시간,  $V$ 는 축적된 여과액 부피,  $k$ 는 상수이며,  $n$ 값은 다음과 같이 fouling mechanism에 따라 결정된다;  $n=0$  for cake formation,  $n=1$  for intermediate fouling,  $n=1.5$  for standard(or gradual) fouling,  $n=2$  for complete fouling.

위의 미분방정식에서  $n$ 에 1.5를 대입하여 적분하면  $t/V = t/V_{MAX} + 1/Q_i$ 의 식을 얻는다<sup>5)</sup>. Fig. 4에  $t/V$ 를  $t$ 의 함수로 나타내었다. 이때 기울기( $1/V_{MAX}$ )로 부터  $V_{MAX}$ 값을 예측할 수 있으며, 그 결과를 아래에 나타내었다.

$\Delta P_{TM}$ (psi)	$V_{EXP}$ (ml) until 180min	$V_{REAL}$ (ml) $V_{EXP} * 1.5$	$V_{MAX}$ (ml)	Testing 구간(min)	오차 (%)
2.5	1246	1869	1926	4 ~ 22	3.00
6.5	1456	2184	2151	10 ~ 30	1.51
7.5	1468	2202	2156	20 ~ 40	2.09
9.0	1517	2276	2167	20 ~ 40	4.79
12.5	1698	2547	2734	18 ~ 38	7.34

$V_{EXP}$ 는 180분 동안 축적된 여과액의 부피이다. 전체 공정의 총여과액의 부피( $V_{REAL}$ )는 실험에 의해 측정된  $V_{EXP}$ 의 1.5배를 한 값으로 가정하였다.  $V_{MAX}$ 의 예측에 사용된 testing 구간이 조금씩 다른 것은 초기 flux가 선형에서 많이 벗어나는 경우에 비교적 선형에 가까운 구간을 선택하기 때문이다<sup>5)</sup>(Fig. 4).

이러한  $V_{MAX}$ 의 예측은 장치의 한외여과 성능을 측정할 때 이용할 수 있으며, 이때 많은 시간과 경비를 절약할 수 있다고 보며 장치의 scale up에도 이용할 수 있어 실제 공정에 있어 매우 중요한 자료로 사용될 것으로 기대되어진다.

### 압력구배의 주기적 변화에 따른 flux 변화

압력을 oscillation시켜올 때 나타나는 flux 변화를 Fig. 5, 6에 나타내었고, 이 결과를 분석하여 아래에 나타내었다.

No	Plot	Interval time (min)	Start & End point $J/J_0$ (%)	Avg. Flux without oscillation ( $L/m^2\cdot hr$ )	Avg. Flux with oscillation ( $L/m^2\cdot hr$ )	% 대비
1	Fig. 5	5	79.52~69.88	20.48	19.31	94.29
2	Fig. 5	5	66.87~62.65	17.84	17.72	99.33
3	Fig. 6	10	64.04~55.28	17.40	16.87	96.95
4	Fig. 6	5	49.89~47.70	14.36	14.71	102.44

이 결과로 부터  $J/J_0$  값이 작은 곳에서부터 oscillation 시키는 것(위 표에서 1, 2, 4 비교결과)과 interval time은 10분 보다는 5분간격이 flux 향상에 더 좋은 결과(위 표의 2, 3 비교결과)를 가져왔다.

### 결론 및 향후연구방향

한외여과 공정에서 여과 flux 향상을 목적으로 압력구배를 변화시켜 보았다. Gel polarization을 감소시키는 방법으로 압력구배( $\Delta P_{TM}$ )를 oscillation시켰으며 이때 interval 시간과 시작점이 flux 변화에 커다란 영향을 준다는 것을 알 수 있었다. Interval 시간은 작게 하였을 경우가 flux 향상에 기여하며, 시작점은 처음보다는 나중이 flux 향상에 더 좋은 결과를 얻음을 알 수 있었다. 전체적으로 flux는 크게 항상시키지 못하였지만, 한외여과공정에서 flux 향상을 위한 연구에 많은 가능성 을 보여 주었다. 추후 연구는 압력변화에 있어서 최적 interval 시간과 시작점을 찾고 또한 압력 이외에 flux에 영향을 주는 인자에 대한 연구를 병행한다면 flux 향상에 좋은 결과를 얻을 수 있으리라 기대된다.

### 참고문헌

1. D.E. Brown and P.R. Kavanagh, "Cross-Flow Separation of Cells," *Process Biochemistry*, pp. 96~100, August, 1987.
2. S.E. Kim, Y.J. Cheong and E.K. Lee, "Flux Improvement of Biomass Filtration by Altering Cake Compressibility," *Theories and Applications of Chemical Engineering*, pp. 451~454, 1995.
3. Hermia J., "Constant pressure blocking filtration law : Application to power law non-newtonian fluids," *Trans.I. Chem. Eng.*, 60, pp. 183~187, 1982.
4. Richard D. Noble and S. Alexander Stern, *Membrane Separations Technology Principle and applications*, pp. 45~84.
5. Forrest Badminton, Randy Wilkins, Michael Payne, and Ephraim S. Honig, "Vmax Testing for Practical Microfiltration Train Scale-up in Biopharmaceutical Processing," *BioPharm*, pp. 46~52, September, 1995.

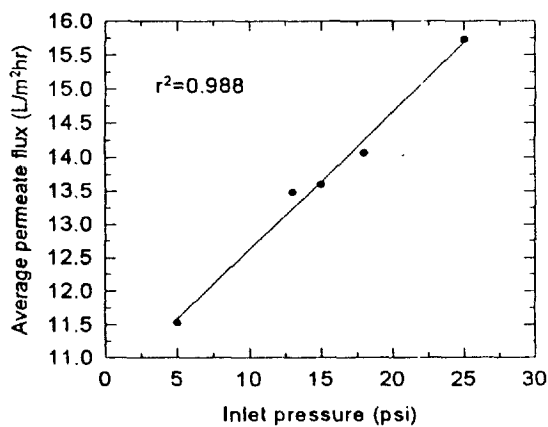


Fig. 1 Average permeate flux at each pressure

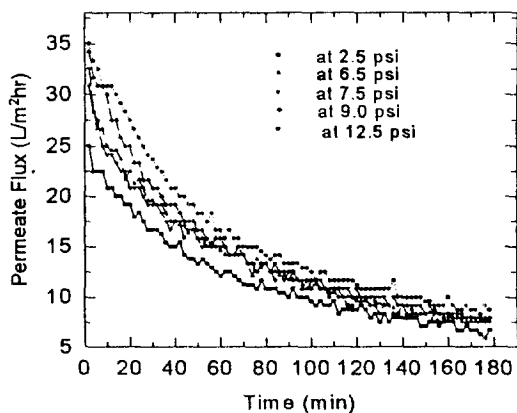


Fig. 2 Time profile of flux decay

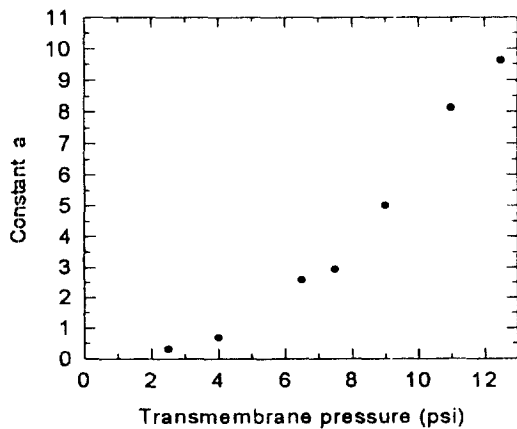


Fig. 3 Effect of  $\Delta P_{TM}$  on constant a

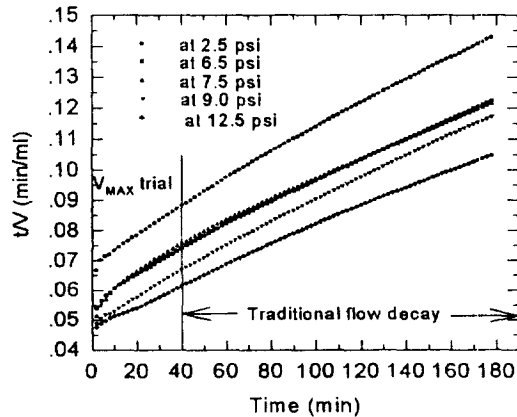


Fig. 4 Plot of  $V_{MAX}$  testing

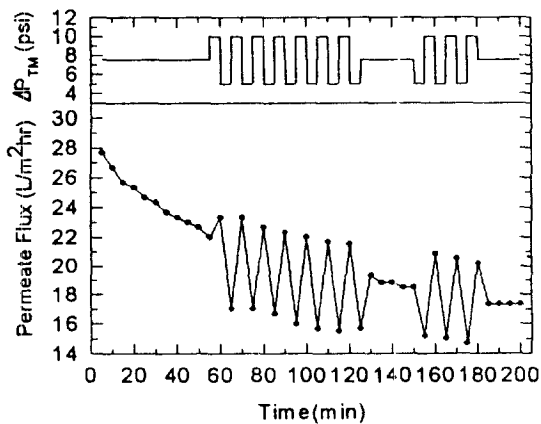


Fig. 5 Effect of pressure oscillation on flux with 5 min interval time

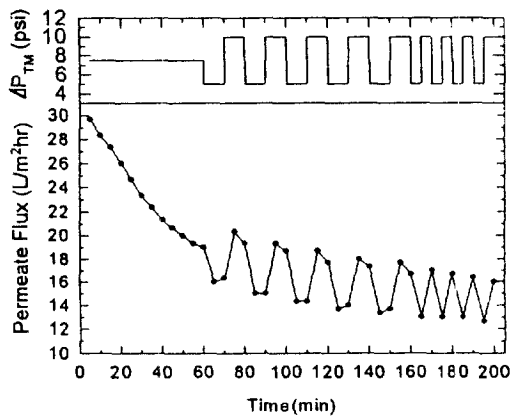


Fig. 6 Effect of pressure oscillation on flux with 10 min interval time